



بررسی سنگنگاری، زمینشیمی و تعیین دما و فشار تبلور کانی‌های پیروکسن و پلازیوکلاز در دایک‌های دیابازی و لامپروفیری قطعه جوپار در جنوب کرمان

فرزانه ارجنگ نژاد^۱، غلامرضا قدمی^{*}^۱، عباس مرادیان^۲، محمد پوستی^۱

۱- گروه زمین‌شناسی، دانشکده علوم پایه، دانشگاه هرمزگان، بندرعباس، ایران

۲- گروه زمین‌شناسی، دانشکده علوم، دانشگاه کرمان، کرمان، ایران

(دریافت مقاله: ۹۷/۸/۲۱، نسخه نهایی: ۹۷/۱۱/۱۴)

چکیده: در جنوب شهر کرمان و در غرب روستای گلومک، مجموعه‌ای از دایک‌های دیابازی و لامپروفیری با روند شمال‌غرب-جنوب شرق رخمنون دارند. این دایک‌ها با ضخامت حدود ۵-۱۵ متر در سنگ‌های آتشفسانی میزبان (به سن نوزا) قطعه جوپار در پهنه ایران مرکزی و بخش جنوبی قطعه پشت بادام نفوذ کردند. بافت غالب دایک‌های دیابازی و لامپروفیری پورفیری و گلومروپورفیری است. بلورهای دیوپسید، الیوین و آمفیبول فازهای اصلی و بلورهای ریز پلازیوکلاز در زمینه از ویژگی‌های لامپروفیرهای است. سنگ‌های دیابازی دارای فازهای اصلی دیوپسید و فلدسپار هستند. بررسی دما-فسارستنجی به روش‌های مختلف نشان می‌دهد که فشار تبلور پیروکسن‌ها حدود ۶ کیلوبار و دمای تبلور آنها حدود ۱۲۰۰ درجه سانتیگراد بوده است. دماستنجی به روش فلدسپارها دمای حدود ۶۵۰-۵۰۰ درجه سانتیگراد را نشان می‌دهند که پایین بودن این دما می‌تواند ناشی از دگرگونی‌های زیر نقطه انجماد ترکیب فلدسپارها طی تبلور باشد. بر اساس ترکیب شیمیایی پیروکسن‌ها و برپایه نمودارهای شناسایی جایگاه زمین‌ساختی، ماتگمای سازنده دایک‌های مورد بررسی قلیایی و وابسته به پهنه فروروانش بوده و از ذوب‌بخشی گوشه‌گارنیت‌دار پدید آمده است.

واژه‌های کلیدی: دیاباز؛ لامپروفیر؛ قلیایی؛ گوشه‌گارنیت‌دار؛ ایران مرکزی؛ جوپار.

لامپروفیرهای جنوب املش را بررسی کرده و آنها را از نوع قلیایی (مونشکیت) دانسته‌اند. روانخواه و همکاران [۲] توده‌های لامپروفیری و گابروی قلیایی هوای را مربوط به قوس پسا برخوردی می‌دانند. آقازاده و همکاران [۳] خاستگاه لامپروفیرهای غنی از آمفیبول شمال غرب ایران را گوشه‌ی لرزولیتی غنی از کانی‌های آبدار در نظر گرفته‌اند و قدمی و همکاران [۴] خاستگاه لامپروفیرهای ده بازرگان-سر آسیاب را گوشه‌ی دگرنهاده (اسپینل-گارنیت لرزولیتی) با کانی‌های آبدار در یک پهنه پسابرخوردی دانسته‌اند. بررسی بازالتها نیز به علت ترکیب شیمیایی محدود و کانی‌شناسی ساده آنها در کشف چگونگی رخداد ذوب بخشی، صعود و محیط زمین ساخت احتمالی مهم است. در این پژوهش، برای نخستین بار

قطعه جوپار که بزرگترین قطعه راین است در جنوب شهرستان کرمان در بخش شمالی نقشه زمین‌شناسی ۱:۱۰۰۰۰ راین و بخش جنوبی نقشه ۱:۱۰۰۰۰ کرمان قرار دارد. مجموعه سنگ‌های آذرین قطعه جوپار از دو بخش اسیدی و حدواسط- بازی تشکیل شده است که به وسیله چند دایک دیابازی و لامپروفیری قطع شده‌اند. از آنجا که بیشتر زمین‌شناسان قطعه جوپار را با سنگ‌های رسوبی می‌شناسند و اطلاقی از فعالیت- های آذرین منطقه جوپار ندارند، تاکنون پژوهش سنگ‌شناسی پیرامون واحدهای آذرین این قطعه انجام نشده است. البته در سال‌های اخیر پژوهشگران بسیاری به بررسی لامپروفیرهای ایران پرداخته‌اند، از جمله صلوتی و همکاران [۱]

کلی و به منظور تفکیک ساختارهای مختلف زمین‌شناسی از هم بوده است و در این نقشه‌ها به وجود دایک‌ها به‌ویژه لامپروفیرها نشده و دایک‌های لامپروفیری مورد نظر به عنوان بازالت معرفی شده‌اند.

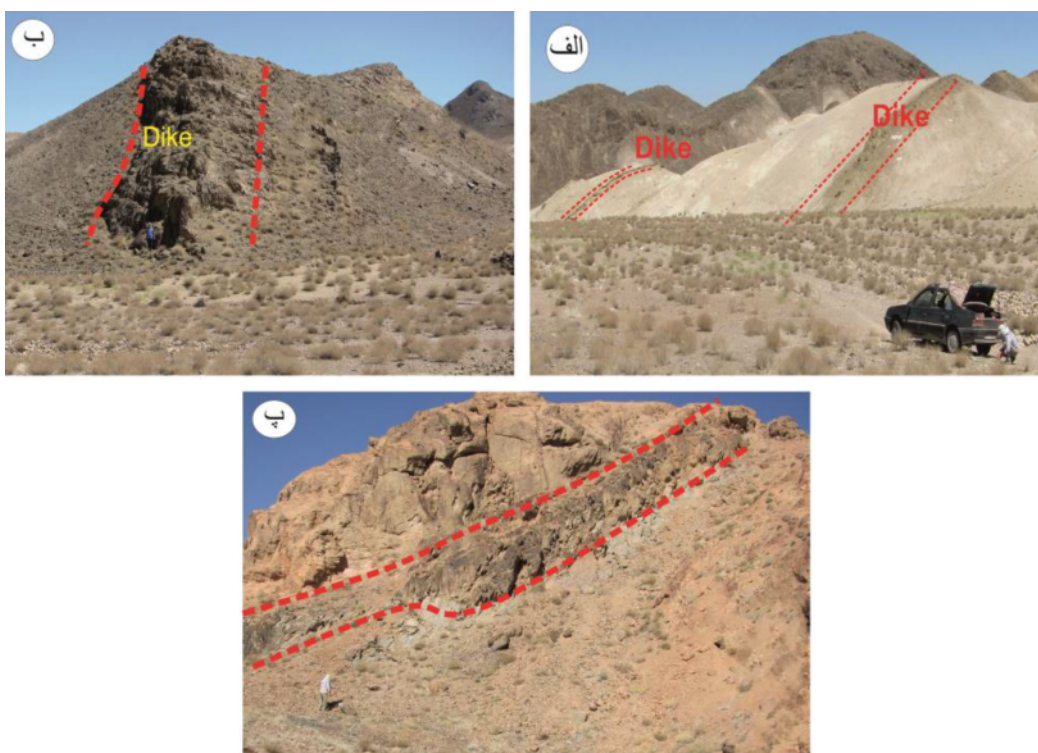
بررسی‌های صحرایی

در منطقه‌ی مورد بررسی، سنگ‌های رسوبی کرتاسه تا کواترنزی دیده می‌شوند، اما واحدهای آتشفسانی به سن نوزا [۷] در بخش غربی قطعه جوپار و در شرق روتاستی گلومک دیده می‌شوند و شامل رخمنون قابل توجهی از توده‌های بازالتی، آندزیتی و ریولیتی هستند. واحدهای آذرین قطعه جوپار توسط بسیاری از دایک‌ها قطع شده‌اند. دایک‌های موجود در منطقه را می‌توان به دو نوع دیابازی و لامپروفیری تقسیم کرد که در صحراء به رنگ‌های سیز مایل به قهوه‌ای تیره، قرمز - قهوه‌ای و خاکستری دیده می‌شوند. در این منطقه، حدود ۱۵ دایک شناسایی شدند که ۳ مورد آنها لامپروفیری و بقیه از نوع دیاباز هستند (شکل ۱). دایک‌هایی دیابازی عمدۀ دایک‌های موجود در منطقه را تشکیل می‌دهند، بیشتر راستای شمال غرب-جنوب شرقی و ضخامت‌های ۵-۱۵ متر دارند این روند احتمالاً بیانگر نظام زمین‌ساختی در زمان تشکیل آنها است.

کانی‌شناسی، بافت، سنگ‌شناسی و زمین‌شیمی دایک‌های دیابازی و لامپروفیری نوزای جوپار به دقت بررسی می‌شود. توجه به ترکیب شیمیایی پیروکسن‌ها و پلازیوکلازها می‌توان اطلاعات بسیار مهمی از خاستگاه ماگمایی و شرایط فیزیکو‌شیمیایی چون فشار و گریزندگی اکسیژن به دست آورد [۵]. در این نوشتار از ترکیب شیمیایی کانی‌هایی مانند کلینوپیروکسن و پلازیوکلاز برای برآورد شرایط دما - فشار سنجی زمان تشکیل سنگ‌های جوپار استفاده شده است.

جایگاه زمین‌شناسی منطقه مورد بررسی

قطعه جوپار در ۲۰ کیلومتری جنوب شهرستان کرمان بین طول‌های جغرافیایی $29^{\circ} ۵۶'$ تا $۳۰^{\circ} ۰۸'$ و عرض‌های جغرافیایی $۵۴^{\circ} ۲۹'$ تا $۵۶^{\circ} ۳۰'$ ، در بخش شمالی نقشه زمین‌شناسی ۱:۱۰۰۰۰ راین و بخش جنوبی نقشه ۱:۱۰۰۰۰ کرمان قرار دارد. این منطقه در تقسیم‌بندی پهنه‌های ساختاری ایران در گستره‌ی ایران مرکزی و در قسمت جنوبی قطعه پشت بادام قرار گرفته است [۶]. نخستین بررسی‌های زمین‌شناسی در این منطقه توسط سازمان زمین‌شناسی کشور انجام شده است که نتایج در قالب نقشه‌های زمین‌شناسی ۱:۱۰۰۰۰ راین و کرمان [۷] به چاپ رسیده است بررسی‌های انجام شده



شکل ۱ تصویر صحرایی از دایک‌های منطقه جوپار (الف) دایک‌های موازی دیابازی، (ب) دایک‌های با ضخامت حدود ۳ مترکه در واحدهای آندزیتی نفوذ کرده است و (پ) دایک لامپروفیری به رنگ قهوه‌ای که در واحدهای اسیدی نفوذ کرده است.

را تشکیل داده‌اند. با اندازه‌گیری زاویه خاموشی به کمک روش میشل لوی، نوع آنها لابرادوریت – بیتنویت (۵۰-۳۵) است، که میانبارهایی از کانی‌های کدر و الیوین نیز در آن‌ها دیده می‌شود. پلازیوکلازها بیشتر سرسبیتی شده‌اند و گاهی نیز سالم بوده و دارای ماکل چندربیختی و بافت غربالی هستند (شکل ۲ ب) و بافت غربالی می‌تواند در اثر آمیختگی ماقمایی، کاهش فشار و تغییر در مقدار مواد فرار تشکیل شده باشد. در نمونه دایک‌های مورد بررسی، احتمال کاهش فشار و تغییر در مقدار مواد فرار بیشتر است. با نزدیک شدن دایک‌ها به سطح زمین و همچنین به دلیل سردشدن ناگهانی مذاب که موجب رشد سریع بلور می‌شود، مناطق غربالی، مواد مذاب و بخار را به صورت میانبار به دام می‌اندازند. از طرف دیگر، پلازیوکلازها در عمق‌های زیاد از ماقما متبلاور شده و سپس در اثر کاهش فشار و از دست دادن بخار و مواد سیال اتحلال یافته‌اند [۸]. درشت بلورهای کلینوپیروکسن به صورت بی‌شکل تا شکل‌دار با اندازه متوسط ۱ سانتی‌متر با زاویه خاموشی ۴۶-۳۷ درجه از نوع دیوپسید- اوژیت هستند. آنها گاهی همراه با ماکل دوتایی و تکراری دیده می‌شوند (شکل ۲ پ). درون برخی از درشت بلورهای پیروکسن، میان بارهایی از پلازیوکلاز و گاهی کانی‌های کدر دیده می‌شود. بلورهای پیروکسن گاهی سالم هستند ولی بیشتر دچار دگرسانی کلریتی و اورالیتی شده‌اند که اغلب از سمت لبه به طرف مرکز در حال گسترش است. کانی‌های فرعی این سنگ‌ها، مگنتیت، ارتوبیروکسن و کانی‌های ثانویه کلسیت، زئولیت و کلریت است.

ویژگی‌های میکروسکوپی لامپروفیرها

براساس کانی‌شناسی، ترکیب و گردهمایی زمین‌ساختی، سه گروه از لامپروفیرها معرفی شده‌اند: ۱- لامپروفیرهای آهکی قلیایی، ۲-لامپروفیرهای قلیایی و ۳-لامپروفیرهای الترامیفیک [۱۰، ۹]. در منطقه مورد بررسی، با توجه به حضور درشت بلورهایی از کانی‌های آبدار (آمفیبیول)، الیوین و یا کلینوپیروکسن به نظر می‌رسد که لامپروفیرهای جوپار از نوع قلیایی (کامپتونیت) باشند [۹]. لامپروفیرهای مورد بررسی دارای بافت پورفیری و گلومرپورفیری و جریانی هستند که مهمترین ترکیب کانی‌شناسی آنها پلازیوکلاز، پیروکسن، الیوین و آمفیبیول قهقهه‌ای است. فراوانترین درشت‌بلورهای این دسته از سنگ‌ها شامل دیوپسید، کانی‌های فرومینیزین آبدار (آمفیبیول) است. درشت‌بلورهای الیوین نیمه شکل‌دار با قطر متوسط ۱ میلیمتر نزدیک به ۱۵-۱۰ درصد حجم سنگ را تشکیل

ضخامت دایک‌های لامپروفیری کمتر و نزدیک به ۰/۵ تا ۲ متر است. مرز بیشتر دایک‌ها با سنگ‌های همبر کاملاً مشخص است، ولی گاهی در بعضی دایک‌ها مرزهای تماس پوشیده شده است. از نظر ویژگی‌های سنگ‌شناسی، بیشتر دایک‌ها دارای بافت کلی پورفیری هستند که بلورهای پلازیوکلاز و پیروکسن و گاهی الیوین در آنها دیده می‌شود. تأثیر محلول‌های گرمابی و آبهای سطحی باعث گسترش دگرسانی و هوازدگی، گسترش فرآیندهای کلریتی و ایجاد شکل‌های فرسایشی مختلف چون فرسایش پوست پیازی و قلوهای شده است.

روش انجام پژوهش

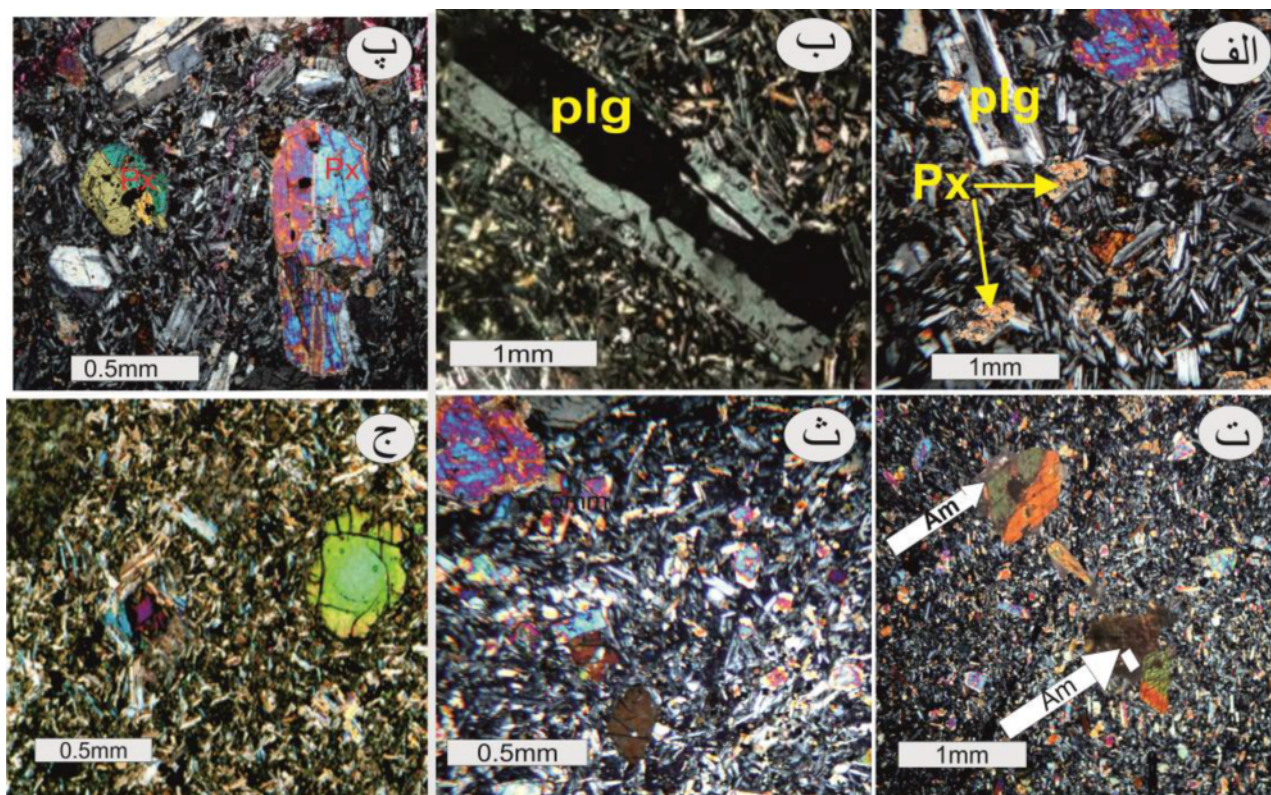
در بازدیدهای صحرایی از دایک‌های دیابازی و لامپروفیری منطقه جوپار، چند نمونه به طور آزاد جمع آوری شدند. برای بررسی سنگ‌شناسی و سنگ‌نگاری، ۳۰ مقطع نازک تهیه شد. سپس از میان آنها، چندین نمونه از دایک‌ها برای تجزیه شیمیایی به روش طیفسنجی جرمی پلاسمای جفت شده القایی (ICPMS) به شرکت Lab West استرالیا فرستاده شدند. به منظور تجزیه با ریزکاوالکترونی کانی‌های پیروکسن و پلازیوکلاز از یک نمونه دایک لامپروفیری و دو نمونه از دایک‌های دیابازی به آزمایشگاه کانی‌شناسی مرکز تحقیقات و فرآوری مواد معدنی ایران فرستاده شدند. تجزیه ریزکاوالکترونی کانی‌ها برای ۱۵ نقطه پیروکسن و ۹ نقطه پلازیوکلاز در Cameca SX1000 با ولتاژ شتابدهنده ۱۵ کیلو ولت، جریان الکتریکی ۳۰ نانو آمپر و قطر پرتو ۵ میکرومتر انجام شد. نتایج این تجزیه با استفاده از نرم افزارهای اکسل و Minpet تفسیر و نمودارهای لازم رسم شدند.

سنگ‌شناسی

در غرب قطعه جوپار در نزدیکی روستای گلومک، دایک‌های بازی و لامپروفیری در واحدهای آذرین بازی و اسیدی رخمنون دارند. از آنچاکه دایک‌های مورد بررسی شامل سنگ‌های نیمه عمیق با ترکیب بازی هستند و نیز با توجه به بافت‌های نیمه عمیق چون بین‌دانه‌ای، پورفیری و خال خال، این سنگ‌ها دیاباز نامیده شده‌اند (شکل ۲ الف). در این سنگ‌ها، درشت‌بلورهای خود شکل تا نیمه شکل‌دار پلازیوکلاز (لابرادوریت)، پیروکسن (دیوپسید) و به مقدار کم الیوین در زمینه‌های از پلازیوکلاز ریزسنگی، الیوین، کلینوپیروکسن و فلدسپار قلیایی دیده می‌شوند. بلورهای پلازیوکلاز در مقاطع میکروسکوپی بیشتر به صورت شکل‌دار تا نیمه‌شکل‌دار هستند و با اندازه ۰/۳ تا ۱/۵ سانتی‌متر دیده می‌شود که ۶۰-۵۰ درصد حجم سنگ

گاه به صورت درشت بلور دیده نمی‌شوند و به صورت ریزسنگ در زمینه هستند (شکل ۲ ث). کلریتی‌شدن و رسی شدن از دگرسانی‌های قابل مشاهده در این سنگ‌هاست. فراوانی کانی پلازیوکلاز بسیار بیشتر از فلدسپارقلیایی است. پلازیوکلازها گاهی به صورت شعاعی در خمیره لامپروفیرها رشد کرده و تشکیل بافت چشمی داده‌اند (شکل ۲ ج) که این بافت با ویژگی عدم آمیختگی سیلیکات-سیلیکات در فشار بالای مواد فرار گسترش می‌یابد. بافت چشمی عبارت است از نظم‌گیری مجموعه بلورهای از درشت بلورها به صورت شعاعی در اطراف درشت بلورهای درشت‌تر که شکل شاخه‌ای گرد به خود می‌گیرند. زمینه شامل ریزسنگ‌های پلازیوکلاز، پیروکسن، آمفیبیول (۱۰ درصد حجمی) بیوتیت (۵ درصد) است. کانی‌های کدر و ارتوبیروکسن از کانی‌های فرعی و کلسیت، سرسیت، اپیدوت و کوارتز از کانی‌های ثانویه محسوب می‌شوند. با توجه به ویژگی‌های سنگ‌شناسی بیان شده در بالا به نظر می‌رسد که لامپروفیرهای منطقه از نوع کامپتونیت باشند.

می‌دهد و اغلب در راستای شکستگی‌ها سرپانتینی شده‌اند. پیروکسن‌ها به صورت دانه درشت تا دانه‌ریز با زاویه خاموشی ۳۵ درجه از نوع دیوپسید - اوژیت با متوسط قطر ۳ میلی متر حدود ۳۰ درصد حجم درشت بلورهای لامپروفیرها را شامل می‌شود. لبه‌های باریکی از آنها به علت اکسیده شدن به رنگ قهوه‌ای دیده می‌شود، اما از فراوانی کمتری برخوردار است و با خاموشی مستقیم (موازی) قابل تشخیص است. وجود درشت بلور و ریزسنگ آمفیبیول قهوه‌ای از دیگر ویژگی‌های این دسته است که حدود ۲۰-۱۵ درصد از حجم درشت بلورها را شامل می‌شود اندازه ریزسنگ‌های آمفیبیول بین ۰/۱ تا ۰/۵ میلی‌متر و درشت بلورها ۳-۱ میلی‌متر است. در مقاطع میکروسکوپی، آمفیبیول‌های قهوه‌ای به طور معمول به شکل لوزی و منشوری دیده می‌شوند که گاهی ماکل و چندرنگی از خود نشان می‌دهند (شکل ۲ ت). فلدسپارها با فراوانی حدود ۴۰-۳۰ درصد بیشترین درصد حجمی را به خود اختصاص می‌دهند، اما هیچ



شکل ۲ تصویرهای میکروسکوپی با نور قطبیده مقاطع (XPL) از دایک‌های دیابازی و لامپروفیری جویار. (الف) بافت بین دانه‌ای در سنگ‌های مورد بررسی که بلورهای پیروکسن بین بلورهای پلازیوکلاز قرار گرفته‌اند، (ب) بافت غربالی در درشت بلورهای پلازیوکلاز، (پ) ماکل دوتایی در بلورهای پیروکسن، (ت) کانی آمفیبیول با ماکل دوتایی در دایک لامپروفیر منطقه، (ث) دایک لامپروفیری بدون حضور درشت بلورهای پلازیوکلاز و کانی فلسيك (ج) رشد شعاعی پلازیوکلاز و تشکیل بافت چشمی.

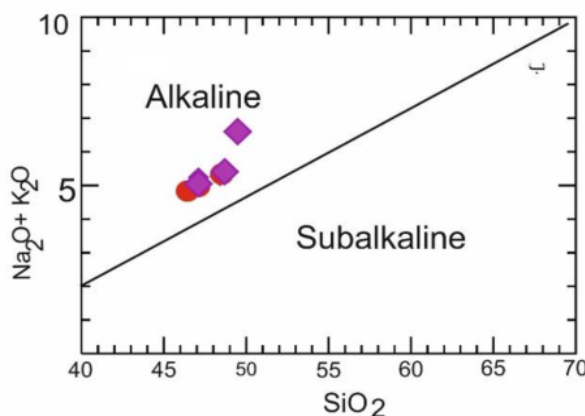
ماهیت قلیایی دارند. نمونه‌های لامپروفیری در گستره‌ی بازالت قلیایی و تراکی بازالت قرار می‌گیرند و در گستره‌ی لامپروفیرهای قلیایی رسم می‌شوند (شکل ۳).

زمینشیمی سنگ کل

در جدول ۱ میانگین نتایج تجزیه‌های شیمیایی نمونه‌های دایک‌های دیابازی و لامپروفیری جوپار آورده شده است. بررسی زمینشیمیایی نمونه‌های سنگی نشان می‌دهد که همه آنها

جدول ۱ داده‌های اکسید عنصرهای اصلی (بر حسب درصد وزنی) و کمیاب (بر حسب ppm) به دست آمده از تجزیه سنگ کل دایک‌های بازی و لامپروفیری منطقه مورد بررسی به روش (Lp: دیاباز، Db: ICP-MS: لامپروفیر).

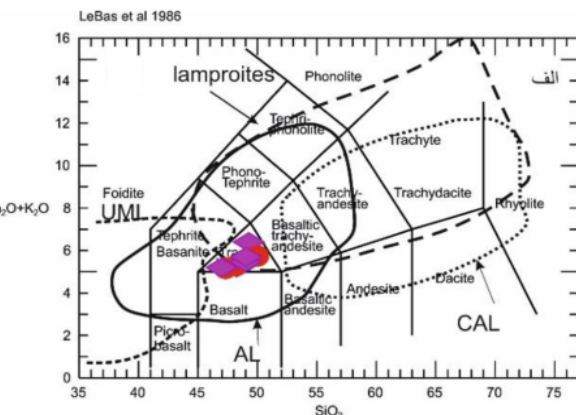
عنصر	1-5-j	1-8-j	1-12J	17N	81-P	41-J-P	101-J-P
	Db	Db	Db	Db	Lp	Lp	Lp
SiO ₂	۴۷/۱	۴۹/۲۶	۴۸/۸۶	۴۸/۴۱	۴۹/۱	۴۷/۲۶	۴۷/۸
TiO ₂	.۹۶	۱.۲۶	۱.۲۶	.۹۷	۱.۹۶	۱.۲۶	۱.۵۶
Al ₂ O ₃	۱۶/۳۹	۱۶/۹۲	۱۶/۸۵	۱۵/۳	۱۵/۳۹	۱۴/۹۳	۱۵/۰۳
Fe ₂ O ₃	۸/۹۳	۹/۴۵	۸/۴۵	۱۰/۱	۸/۴۳	۹/۴۵	۸/۹۵
MnO	.۷۸	۰/۳۳	۰/۷۸	.۲۹	.۱۸	۰/۳۳	۰/۷۸
MgO	۷/۴۴	۶/۷۸	۶/۸۵	۷/۷۱	۸/۴۴	۷/۷۸	۷/۸۵
CaO	۹/۵۳	۷/۱۶	۹/۸۲	۱۰/۴۱	۹/۳۳	۱۰/۱۶	۹/۸۶
Na ₂ O	۲/۶۱	۳/۴۱	۲/۸۹	۲/۴۲	۳/۶۱	۳/۰۱	۳/۰۳
K ₂ O	۲/۶۳	۲/۹۹	۲/۴۹	۲/۸۵	۲/۰۳	۲/۱۹	۲/۲۹
P ₂ O ₅	.۷۲	۰/۸۶	۰/۸۳	.۷۹	.۷۱	۰/۸۲	۰/۷۳
SO ₃	.۰/۵	.۰/۰۵	.۰/۵	.۰/۰۵	.۰/۰۵	.۰/۰۵	.۰/۰۶
Cr ₂ O ₃	.۰/۱	.۰/۰۱	.۰/۱	.۰/۰۱	.۰/۰۱	.۰/۰۱	.۰/۰۱
LOI	۲/۲	۱/۷	۱/۲۲	.۷۲	۱/۲	۲/۳	۱/۹۲
مجموع	۹۹/۴۱	۱۰۰/۱۸	۱۰۰/۰۳	۹۹/۹۷	۱۰۰/۴۴	۹۹/۲۸	۱۰۰/۴۲
Cs	۱۳۵	۱۳۰	۱۴۲	۱۳۵	۱۲۰	۱۱۱	۱۴۲
Rb	۱۱۲	۸۹	۹۷	۹۳	۱۱۰	۱۰۳	۹۹
Ba	۴۸۹	۵۰/۱	۴۶۳	۴۰/۹	۶۲۳	۶۲۰	۵۹۳
Sr	۸/۹۶	۷/۴۵	۸/۵۵	۷/۱۹	۹/۹۷	۸/۸۶	۸/۹۶
Pb	۱/۷۶	۱۵/۴۳	۱۹/۲	۱۹/۲	۱۸/۲	۱/۷	۱۷/۰۲
Th	۶	۴/۳۶	۶/۲۳	۶/۰۱	۶/۶	۵/۶	۷/۲
U	۳	۲/۲	۴	۵	۲/۲	۲/۳	۲
Zr	۱/۹۶	۱۸/۹	۱۹/۳	۲/۱۱	۱۶۶	۱۸۵	۱۸۵
Hf	۴/۵	۳/۸۲	۴/۱۴	۵/۰۱	۴/۴	۳/۷۲	۴/۱۴
Ta	۱/۹	۱/۷	۱/۶۳	۱/۳۲	۱/۵	۱/۲	۱/۶
Y	۴/۱	۳/۰	۳/۲	۳/۳	۲/۸	۲/۸	۲/۶
Nb	۳/۰	۲/۵	۲/۹	۲/۵	۲/۷	۲/۶	۲/۶
La	۴/۶	۴/۸	۵/۱	۵/۲	۴/۷	۴/۶	۵/۱
Pr	۸/۶	۸/۴	۸/۹	۹/۱	۱/۱	۱/۲	۱/۱
Nd	۳/۹	۳/۶	۳/۷	۴/۰	۴/۲	۴/۰	۴/۰
Sm	۸/۰/۸	۷/۸۹	۷/۶۴	۷/۹۹	۶/۴۱	۶/۷۵	۶/۴۴
Eu	۲/۵۲	۲/۲۶	۲/۴۲	۲/۶۲	۱/۷۵	۱/۸۹	۲/۰۲
Gd	۷/۷	۷/۳	۷/۱۲	۷/۷۴	۶/۴	۵/۷۸	۵/۹
Tb	۱/۰/۱	۰/۸۶	۱/۰/۲	۱/۰/۱	۰/۸۹	۰/۸۱	۱/۰/۲
Dy	۴/۲	۴/۲	۴/۷۹	No	۴/۳۲	۴/۴۷	۴/۲
Ho	۱/۰/۴	۰/۹۶	۰/۹	۱/۰/۳	۰/۹۱	۰/۹۴	۰/۹
Er	۲/۵۲	۲/۵۵	۲/۴۷	۲/۶۶	۲/۴۱	۲/۱۴	۲/۵۱
Tm	۰/۳	۰/۲۹	۰/۲۷	۰/۳۱	۰/۳	۰/۳۲	۰/۳۱
Yb	۲/۰/۳	۲/۱۲	۲/۰/۸	۲/۱۶	۱/۹۶	۲/۲	۲/۷
Lu	۰/۳۲	۰/۳۲	۰/۳۶	۰/۳۱	۰/۳	۰/۳۱	۰/۳۲
Ce	۸/۳	۸/۴	۸/۳	۸/۰	۱/۰/۱	۹/۵	۱/۰/۰
Cr	۱/۸۶	۱/۹۲	۱/۶۲	۱/۴۲	۲/۴۱	۲/۰/۳	۲/۰/۸
Ni	۶/۹	۶/۲	۷/۱	۶/۲	۷/۳	۷/۸	۸/۵
V	۱/۴۴	۱/۸۹	۱/۸۶	۱/۷۵	۱/۸۹	۱/۸۵	۱/۷۸
Ga	۱۶/۸۶	۲۱/۳	۱۵/۴۲	۱۲/۰/۳	۱۴/۴۵	۱۷/۱۲	۱۳/۲
Zn	۸/۶	۱۱/۲	۱/۰	۹/۳	۷/۸	۷/۸	۸/۵
Cu	۳/۶	۳/۷	۳/۶	۳/۹	۴/۷	۴/۴	۴/۷
Be	۲/۷	۱/۹	۲/۷	۲/۲	۱/۷	۲	۱/۰
Ge	.۰/۸۲	.۰/۸۱	.۰/۷۱	.۰/۷۲	.۱/۰/۳	.۰/۹۵	.۰/۸۵
Hg	<۰/۰/۵	<۰/۰/۵	<۰/۰/۵	<۰/۰/۵	<۰/۰/۵	<۰/۰/۵	<۰/۰/۵
Li	۴/۵/۷	۳/۰/۵۲	۴/۵/۱	۴/۲	۳/۰/۲	۲/۹	۳/۳
Sn	۳/۴	۲/۶۳	۳/۱۸	۲/۸	۲	۳	۲/۳
Tl	۱	.۹	.۶	۹	۲/۲	۲/۰/۱	۲



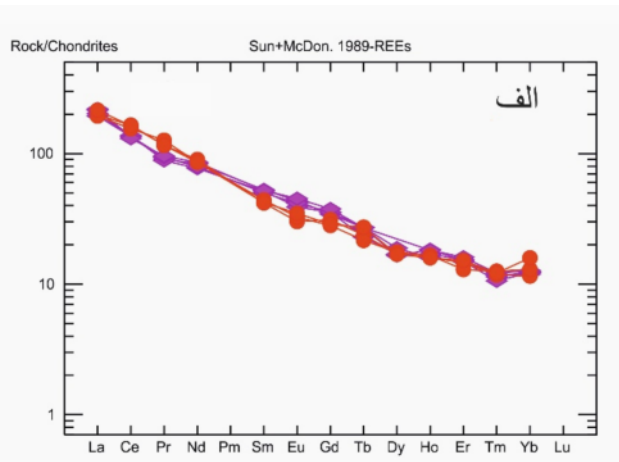
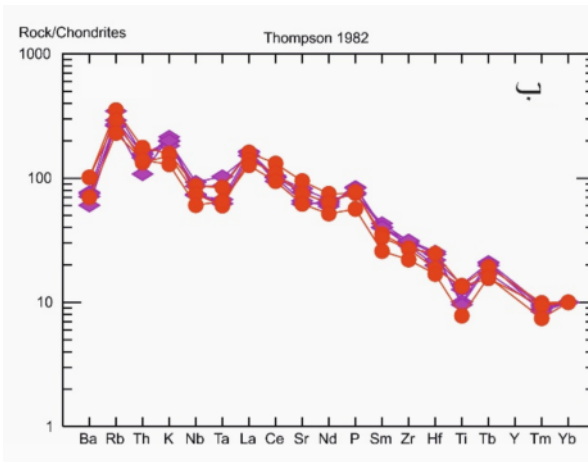
شکل ۳ الف- تقسیم بندی نمونه‌های مورد بررسی در نمودار مرجع [۱۴]. گستره‌های لامپروفیر و لامپروئیت و خط تفکیکی سری‌های ماقمایی برگرفته از مرجع [۱۵] است. (گستره با خطوط پررنگ: گستره با خط چین بزرگ: لامپروفیرهای فرامافیک (UML)، گستره با خط چین ریز: لامپروفیر آهکی قلیایی (CAL) و گستره با نقطه چین: لامپروفیرهای قلیایی (AL)) نمودار $\text{Na}_2\text{O} + \text{K}_2\text{O}$ نسبت به SiO_2 [۱۶].

لامپروفیرها: دیابازها:

از جدایش کانی‌های الیوین، زیرکن یا هورنبلند باشد [۱۱].
الگوی فراوانی عناصر ناسازگار سنگ‌های آتششناختی جوپار
بهنجار شده با مقادیر کندریت [۱۲] (شکل ۴ ب) تهی شدگی
مشخص در Th Ba, Ti, Nb, Ta و غنی شدگی در عناصر K
و Rb را نشان می‌دهد. به عقیده برخی پژوهشگران تهی شدگی
از Ta-Nb و غنی شدگی از LREE و عناصر سنگ دوست
بزرگ یون (LILE) می‌تواند ناشی از دو عامل ۱) تشکیل
ماگماها از یک گوشه‌های غنی شده (در اثر سیالهای فرورانشی) و
۲) آلایش پوسته‌ای ماگماهای شکل گرفته از گوشه‌های باشد
. [۱۳]



شباخت در تغییرات عناصر ناسازگاری مانند عناصر خاکی نادر (شکل ۴ الف) نشان می‌دهد که همه نمونه‌های مورد بررسی به هم وابسته هستند و احتمالاً از یک سنگ خاستگاه مشترک ایجاد شده‌اند. در این الگو، تدریجی عناصر خاکی نادر سبک (LREE) به میانه (MREE) و سنگین (HREE) و با شیب منفی دیده می‌شود که این امر را می‌توان با نسبت‌های $(\text{La}/\text{Sm})_{\text{N}}$ از ۳۳۰ تا ۴۶۰ و $(\text{Sm}/\text{Yb})_{\text{N}}$ از ۲ تا ۴ و $(\text{La}/\text{Yb})_{\text{N}}$ از ۸/۵ تا ۱۷/۵ تأیید کرد. افقی بودن روند عناصر HREE می‌تواند نشانه خاستگاه گوشه‌های گارنت‌دار برای منطقه مورد بررسی و تهی شدگی آنها (HREE) می‌تواند ناشی



شکل ۴ الف) الگوی REE در سنگ‌های بازالتی قطعه جوپار [۱۷] و ب) نمودار به هنجار شده سنگ‌های منطقه مورد بررسی نسبت به کندریت [۱۲] علائم مانند شکل ۳ هستند.

که انواع پیروکسن‌های سدیمی، سدیمی-کلسیمی و کلسیمی را از هم جدا می‌کند استفاده شد (شکل ۵ الف). مقدار عدد منیزیم $Mg\# = \frac{Mg}{Mg + Fe + 2}$ این کانی حدود ۹۵/۹۶-۷۰/۳۰ درصد (برای دیابازها و لامپروفیرها) محاسبه شد و مجموع کاتیون‌های $Na+Ca+Fe+2$ آنها نزدیک به ۲ است بنابراین، آنها در گستره آهن-منیزیم-کلسیم قرار می‌گیرند. ترکیب اعضای نهایی این کانی در دیابازها و لامپروفیرها در گستره $(7.19 - 14.35)$, $Fs(35.64 - 42.60)$ و $En(50)$ است. براساس نمودار مثلثی ولاستونیت-انستانتیت-فروسیلیت [۱۹]، پیروکسن‌ها از نوع دیوپسید هستند (شکل ۵ ب).

شیمی کانی‌ها

از نتایج تجزیه‌ی نقطه‌ای ریزپردازشی کانی‌های پیروکسن و پلاژیوکلاز که در جدول‌های ۲ و ۳ آورده شده‌اند. به منظور نامگذاری، شناسایی ترکیب شیمیایی، تعیین دما و فشار تبلور تعادلی مجموعه کانیایی در سنگ‌های منطقه جویار استفاده شد.

پیروکسن

کلینوپیروکسن‌ها پس از پلاژیوکلازها فراوانترین کانی در دایک‌های دیابازی جویار هستند که بیشتر به صورت درشت بلورهای شکل‌دار و گاهی ریزبلور در بین ریزسنگ‌های فلدسپارها دیده می‌شوند. برای نامگذاری این کانی از روش Q-J مرجع [۱۸] استفاده شد. در این روش، نخست از نمودار

[۱۸]

جدول ۲ داده‌های تجزیه ریزکالکترونی (بر حسب درصد وزنی) برای کانی پیروکسن در دایک‌های بازی.

Error! Not a valid link.Point	Px1	Px2	Px3	Px4	Px5	Px6	Px7	Px8	Px9	Px10
SiO ₂	۴۸,۹۷	۴۹,۰۸	۵۰,۰۱	۴۹,۰۱	۴۹,۰۱	۴۸,۹۹	۴۹,۷۷	۴۹,۲۳	۴۸,۸۲	۴۹
TiO ₂	۱,۶۲	۱,۹	۱,۶۵	۱,۳۹	۱,۸۷	۱,۴	۱,۵۴	۱,۵	۱,۸۸	۱,۸۷
Al ₂ O ₃	۳,۲۶	۲,۸۲	۲,۸۹	۲,۷۸	۳,۰۳	۲,۸۸	۲,۸۹	۳	۲,۷۸	۲,۶۹
FeO	۷,۷۸	۱۰,۱۱	۱۰,۰۵	۱۰,۶۵	۱۰,۰۶	۸,۹۱	۹,۸۵	۱۰,۶۳	۹,۹۳	۱۰,۰۶
MnO	۰,۳	۰,۲۹	۰,۳۲	۰,۳۱	۰,۲۸	۰,۳۱	۰,۳۲	۰,۲۸	۰,۳۱	۰,۳۶
MgO	۱۵,۰۹	۱۴,۹۶	۱۴,۱۴	۱۵,۰۳	۱۴,۴۳	۱۵,۱۶	۱۴,۶۴	۱۴,۶۸	۱۴,۸۲	۱۵,۰۳
CaO	۲۲,۵۲	۲۰,۳۶	۲۰,۸۶	۲۰,۹۸	۲۰,۸۲	۲۱,۶۶	۲۰,۲۱	۱۹,۸۹	۲۰,۴۸	۲۰,۸۲
Na ₂ O	۰,۵۶	۰,۵	۰,۵۸	۰,۵۲	۰,۴۷	۰,۵	۰,۵۱	۰,۵۲	۰,۵۴	۰,۴۷
K ₂ O	۰,۲	۰,۱	۰,۰۹	۰,۰۲	۰,۰۳	۰,۱	۰,۰۸	۰,۰۹	۰,۱	۰,۰۳
Cr ₂ O ₃	۰,۳۶	۰,۳۶	۰,۴	۰,۲۸	۰,۳	۰,۳۲	۰,۳۳	۰,۲۸	۰,۳۳	۰,۲۹
مجموع	۱۰۰,۶۶	۱۰۰,۴۸	۱۰۰,۹۹	۱۰۰,۹۷	۱۰۰,۳	۱۰۰,۲۳	۱۰۰,۱۴	۱۰۰,۱۱	۹۹,۹۹	۱۰۰,۶۲
Si	۱,۷۹۶	۱,۸۱۷	۱,۸۴۷	۱,۸۰۵	۱,۸۲۱	۱,۸۰۹	۱,۸۴۹	۱,۸۳۱	۱,۸۱۶	۱,۸۱۲
Ti	۰,۰۴۵	۰,۰۵۳	۰,۰۴۶	۰,۰۳۸	۰,۰۵۲	۰,۰۳۹	۰,۰۴۳	۰,۰۴۲	۰,۰۵۳	۰,۰۵۲
Al	۰,۱۴۱	۰,۱۲۳	۰,۱۲۶	۰,۱۲۱	۰,۱۳۳	۰,۱۲۵	۰,۱۲۷	۰,۱۳۲	۰,۱۲۲	۰,۱۱۷
Al ₄	۰,۱۴۱	۰,۱۲۳	۰,۱۲۶	۰,۱۲۱	۰,۱۳۳	۰,۱۲۵	۰,۱۲۷	۰,۱۳۲	۰,۱۲۲	۰,۱۱۷
Al ₆	۰,۰	۰,۰	۰,۰	۰,۰	۰,۰	۰,۰	۰,۰	۰,۰	۰,۰	۰,۰
Fe ₃	۰,۰۸۱	۰,۰۴۳	۰,۰۶۴	۰,۰۷۳	۰,۰۵۳	۰,۰۷۴	۰,۰۶۸	۰,۰۷۸	۰,۰۴۶	۰,۰۳۸
Fe ₂	۰,۱۵۸	۰,۲۷۰	۰,۲۴۶	۰,۲۵۵	۰,۲۵۹	۰,۲۰۱	۰,۲۳۸	۰,۲۵۳	۰,۲۶۳	۰,۲۷۳
Mn	۰,۰۰۹	۰,۰۰۹	۰,۰۱۰	۰,۰۱۰	۰,۰۰۹	۰,۰۱۰	۰,۰۱۰	۰,۰۰۹	۰,۰۱۰	۰,۰۱۱
Mg	۰,۸۲۵	۰,۸۲۶	۰,۷۷۸	۰,۸۲۵	۰,۷۹۹	۰,۸۳۴	۰,۸۱۱	۰,۸۱۳	۰,۸۲۱	۰,۸۲۲۸
Ca	۰,۸۸۵	۰,۸۰۸	۰,۸۲۵	۰,۸۲۸	۰,۸۲۹	۰,۸۵۷	۰,۸۰۵	۰,۷۹۲	۰,۸۱۶	۰,۸۲۵
Na	۰,۰۴۰	۰,۰۳۶	۰,۰۴۲	۰,۰۳۷	۰,۰۳۴	۰,۰۳۶	۰,۰۳۷	۰,۰۳۸	۰,۰۳۹	۰,۰۳۴
K	۰,۰۰۹	۰,۰۰۵	۰,۰۰۴	۰,۰۰۱	۰,۰۰۱	۰,۰۰۵	۰,۰۰۴	۰,۰۰۴	۰,۰۰۵	۰,۰۰۱
Cr	۰,۰۱۰	۰,۰۱۱	۰,۰۱۲	۰,۰۰۸	۰,۰۰۹	۰,۰۰۹	۰,۰۱۰	۰,۰۰۸	۰,۰۱۰	۰,۰۰۸
Wo	۵۰,۰۰	۵۰,۰۰	۵۰,۰۰	۵۰,۰۰	۵۰,۰۰	۵۰,۰۰	۵۰,۰۰	۵۰,۰۰	۵۰,۰۰	۵۰,۰۰
En	۴۰,۱۲	۳۷,۷۱	۳۶,۹۶	۳۶,۷۰	۳۷,۴۱	۳۸,۶۲	۳۷,۴۰	۳۶,۶۲	۳۷,۷۷	۳۷,۷۰
Fs	۹,۸۸	۱۲,۲۹	۱۳,۰۴	۱۳,۳۰	۱۲۶۰	۱۱,۳۸	۱۲,۶۰	۱۳,۳۸	۱۲,۲۳	۱۲,۹۶

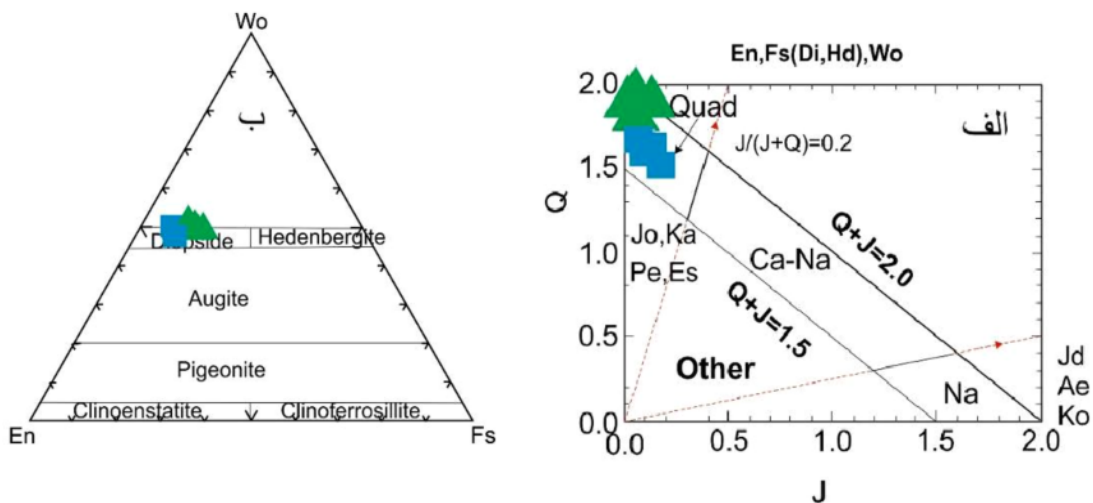
ادامه جدول ۲ داده‌های تجزیه ریزکاوالکترونی (بر حسب درصد وزنی) برای کانی پیروکسن در دایک‌های لامپروفیری منطقه جوپار.

شماره نقطه	LaM1	LM2	LM3	LM4	LM5
SiO ₂	۵۲.۹۸	۵۱.۷۸	۴۹.۹۶	۵۳.۲۱	۵۰.۸۳
TiO ₂	۰.۵۹	۰.۷۲	۰.۳۲	۰.۵۸	۰.۲۶
Al ₂ O ₃	۲.۴۹	۲.۷۸	۳.۵۳	۲.۶۲	۱.۸۹
FeO	۵.۰۳	۶.۰۶	۶.۶۸	۵.۸۳	۵.۸۶
MnO	۰.۱۹	۰.۱۸	۰.۷۱	۰.۱۶	۰.۱۵
MgO	۱۵.۶۶	۱۶.۰۱	۱۷.۰۱	۱۴.۹۴	۱۶.۶۸
CaO	۲۰.۲۳	۲۱.۱۴	۲۱.۰۳	۲۰.۳۴	۲۲.۱۰
Na ₂ O	۱.۲۹	۰.۹۳	۰.۸۳	۱.۳۴	۱.۳۰
K ₂ O	۰.۱۰	۰.۰۸	۰.۱۸	۰.۰۹	۰.۱۳
Cr ₂ O ₃	۰.۳۶	۰.۲۹	۰.۴۴	۰.۷۹	۰.۶۳
مجموع	۹۹.۹۲	۹۹.۹۷	۱۰۰.۶۹	۹۹.۹۰	۹۹.۸۳
Wo	۵۰.۰۰	۵۰.۰۰	۵۰.۰۰	۵۰.۰۰	۵۰.۰۰
En	۴۲.۸۲	۴۱.۸۱	۴۰.۵۰	۴۱.۸۵	۴۱.۸۷
Fs	۷.۱۹	۸.۲۰	۹.۵۰	۸.۵۲	۸.۱۴
Si	۱.۸۸	۱.۸۴	۱.۸۶	۱.۸۰	۱.۸۳
Ti	۰.۰۱	۰.۰۱	۰.۰۱	۰.۰۱	۰.۰۱
Al	۰.۲۷	۰.۳۳	۰.۲۸	۰.۳۰	۰.۳۶
Al4	۰.۱۲	۰.۱۶	۰.۱۴	۰.۲۰	۰.۱۷
Al6	۰.۱۵	۰.۱۷	۰.۱۳	۰.۱	۰.۱۸
Fe ₃	۰.۰۰	۰.۰۳	۰.۰۴	۰.۱۴	۰.۰۱
Fe ₂	۰.۱۷	۰.۱۳	۰.۱۳	۰.۰۵	۰.۰
Mn	۰.۰۱	۰.۰۰	۰.۰۰	۰.۰۰	۰.۰۰
Mg	۱.۱۵	۱.۰۴	۱.۱۵	۱.۱۰	۰.۹۱
Ca	۰.۴۴	۰.۵۵	۰.۴۷	۰.۵۰	۰.۶۱
Na	۰.۰۶	۰.۰۶	۰.۰۶	۰.۰۶	۰.۰۶
K	۰.۰۰	۰.۰۰	۰.۰۰	۰.۰۰	۰.۰۰
Cr	۰.۰۲	۰.۰۲	۰.۰۲	۰.۰۲	۰.۰۲
مجموع	۴.۰۰	۴.۰۰	۴.۰۰	۴.۰۰	۴.۰۰

جدول ۳ داده‌های تجزیه ریزکاوالکترونی (برپایه درصد وزنی) برای کانی پلازیوکلار در دایک‌های بازیک و لامپروفیر منطقه جوپار

Db: نشانه دیاباز LP: نشانه لامپروفیر

Piont	PI1	PI2	PI3	PI4	PI5	PI6	PI7	PI8	PI9
	Db	Db	Db	Db	Db	LP	LP	LP	LP
SiO ₂	۴۷.۴۲	۵۷.۷۵	۵۱.۷۱	۵۶.۸۵	۵۱.۶۸	۵۲.۴۱	۵۳.۶۲	۵۲.۴۳	۵۱.۹۶
TiO ₂	۰.۰۳۰	۰.۰۷۰	۰.۰۸۶	۰.۰۸۱	۰.۰۹۰	۰.۰۷۰	۰.۰۲۰	۰.۰۱۰	۰.۰۹
Al ₂ O ₃	۳۳.۰۳	۳۰.۵۶	۲۸.۳۳	۲۵.۷۸	۲۸.۷۴	۲۹.۲۱	۲۷.۳۲	۲۸.۰۳	۲۹.۱۰
FeO	۰.۶۲	۰.۳۳	۰.۵۳	۰.۵۸	۰.۰۵	۰.۱۴	۰.۰۹	۰.۱۲	۰.۱۴
MgO	۰.۰۰	۰.۰۰	۰.۰۰	۰.۰۰	۰.۰۰	۰.۰۰	۰.۰۰	۰.۰۰	۰.۰۰
CaO	۱۷.۰۱	۱۲.۶۳	۱۱.۶۳	۹.۸۷	۱۴.۶۵	۱۳.۱۰	۱۲.۷۵	۱۴.۰۳	۱۳.۱۲
Na ₂ O	۲۶۳	۴.۷۸	۵.۷۴	۶.۷۵	۵.۳۶	۵.۶۳	۶.۵۲	۵.۷۱	۶.۰۳
K ₂ O	۰.۰۶	۰.۱۵	۰.۰۷۰	۰.۰۳۶	۰.۱۰	۰.۲۷	۰.۲۱	۰.۳۰	۰.۲۷
مجموع	۱۰۰.۸۰	۱۰۰.۲۷	۹۸.۹۶	۹۹.۹۴	۱۰۰.۶۷	۱۰۰.۱۳	۱۰۰.۵۴	۱۰۰.۶۵	۱۰۰.۷۱
Si	۱.۷۲	۱.۸۲	۱.۸۹	۱.۶۴	۱.۸۴	۱.۸۶	۱.۹۰	۱.۸۷	۱.۸۴
Ti	۰.۰۰۱	۰.۰۰۲	۰.۰۰۲	۰.۰۰۲	۰.۰۰۲	۰.۰۰۲	۰.۰۰۲	۰.۰۰۰	۰.۰۰۲
Al	۱.۴۱۲	۱.۲۹۶	۱.۲۲۲	۰.۸۸۱	۱.۱۱۱	۱.۲۲۶	۱.۱۴۵	۱.۱۷۹	۱.۲۱۹
Al4	۰.۲۸۰	۰.۱۷۴	۰.۱۰۸	۰.۳۵۲	۰.۱۵۲	۰.۱۳۳	۰.۰۹۳	۰.۱۳۹	۰.۱۵۳
Al6	۱.۱۳۲	۱.۱۲۲	۱.۱۱۵	۰.۵۲۹	۱.۰۵۹	۱.۰۹۳	۱.۰۵۲	۱.۰۵۰	۱.۰۶۶
Fe ₃	۰.۰۰	۰.۰۰	۰.۰۰	۰.۰۱۴	۰.۰۰	۰.۰۰	۰.۰۰	۰.۰۰	۰.۰۰
Fe ₂	۰.۰۱۹	۰.۰۱۰	۰.۰۱۶	۰.۰۰	۰.۰۰۱	۰.۰۰۴	۰.۰۰۳	۰.۰۰۴	۰.۰۰۴
Mg	۰.۰۰	۰.۰۰	۰.۰۰	۰.۰۰	۰.۰۰	۰.۰۰	۰.۰۰	۰.۰۰	۰.۰۰
Ca	۰.۶۶	۰.۵۳	۰.۴۶	۰.۳۱	۰.۵۶	۰.۵۰	۰.۴۹	۰.۵۴	۰.۵۰
Na	۰.۱۸۵	۰.۳۳	۰.۴۱	۰.۳۸	۰.۳۷	۰.۳۹	۰.۴۵	۰.۴۰	۰.۴۲
K	۰.۰۰۳	۰.۰۰۷	۰.۰۰۳	۰.۰۰۱	۰.۰۰۵	۰.۰۱۲	۰.۰۱۰	۰.۱۰	۰.۰۱۲
مجموع	۴.۰۰	۴.۰۰	۴.۰۰	۴.۰۰	۴.۰۰	۴.۰۰	۴.۰۰	۴.۰۰	۴.۰۰
Ab	۰.۵۷	۰.۷۶	۰.۶۱	۰.۴۴	۰.۶۰	۰.۵۵	۰.۵۲	۰.۵۷	۰.۵۴
An	۰.۴۰	۰.۲۴	۰.۳۸	۰.۵۴	۰.۴۰	۰.۴۳	۰.۴۸	۰.۴۲	۰.۴۹
Or	۰.۰۳۱	۰.۰۰۲	۰.۰۰۸	۰.۰۱۸	۰.۰۰۵	۰.۰۱۴	۰.۰۱۰	۰.۰۱۵	۰.۰۱۳



شکل ۵ ردیبندی پیروکسن‌های منطقه جوپار: (الف) ترکیب کلینوپیروکسن‌ها در نمودار Q نسبت به J [۱۸] و ب) نمودار WO -En-Fs [۱۹] نمونه‌های دایک دیبازی نشانه نمونه‌های دایک لامپروفیری .

انجام شده است [۲۹-۲۵]. در این پژوهش از برنامه Winprox

[۳۰] دمای تبلور پیروکسن بر اساس رابطه زیر برآورد شد:

$$T(K) = 93100 + 544P(kbar)/61.1 + 36.6(X_{Ti}^{cpx}) + 10.9(X_{Fe}^{cpx}) - 0.95(X_{Al}^{cpx} + X_{Cr}^{cpx} - X_{Na}^{cpx} - X_{K}^{cpx}) + 0.395[\ln(a_{En}^{cpx})]^2 \quad (1)$$

که a_{En}^{cpx} و X_{Al}^{cpx} در این رابطه عبارتند از:

$$X_{Al}^{cpx} = X_{Al(IV)}^{cpx} + X_{Al(VI)}^{cpx} \quad (2)$$

$$a_{En}^{cpx} = (1 - X_{Ca}^{cpx} - X_{Na}^{cpx} - X_{K}^{cpx}) * 0.5 (X_{Al}^{cpx} + X_{Cr}^{cpx} + X_{Na}^{cpx} + X_{K}^{cpx}) \quad (3)$$

برای محاسبه فشار تبلور پیروکسن نیز از رابطه زیر استفاده شد:

$$P(kbar) = 3205 + 0.384T(K) - 518\ln[T(K)] - 5.62(X_{Mg}^{cpx}) + 83.2(X_{Na}^{cpx}) + 68.2(X_{Cpx}^{DiHd}) + 2.52\ln(X_{Al}^{cpx}) - 51.1(X_{Cpx}^{DiHd})^2 + 34.8(X_{EnFs}^{cpx})^2 \quad (4)$$

که در این رابطه،

$$X_{Cpx}^{DiHd} = Ca - CaTs - CaTi - CrCaTs \quad (5)$$

و

$$X_{EnFs}^{cpx} = [(Fe_{tot} + Mg) - (Ca - CaTi - CaTs - CrCaTs)] / 2 \quad (6)$$

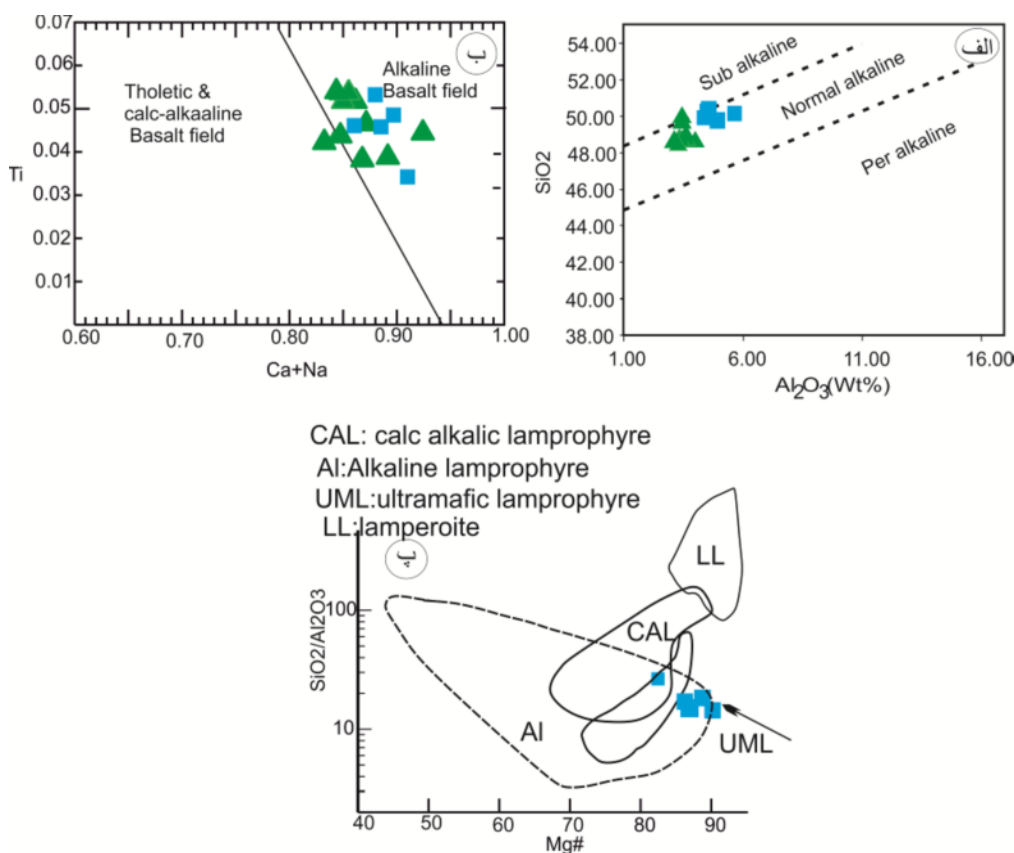
به این ترتیب، دمای تشکیل کلینوپیروکسن‌ها بین ۹۳۶ تا ۱۱۲۸ درجه سانتیگراد و میانگین فشار بین ۰/۲ تا ۵ کیلوبار برآورد شد.

تعیین سری ماقمایی و پهنه زمین‌ساختی برپایه شیمی کلینوپیروکسن

ترکیب کلینوپیروکسن‌ها به شیمی ماقمایی مادر بستگی دارد. بر این اساس، تفاوت میان گروه‌های گوناگون ماقماها را می‌توان شناسایی کرد. ترکیب شیمیایی پیروکسن‌ها به ویژه فراوانی عنصری مانند Al و Ca، Na، Ti، Al و Si در شناسایی ماهیت ماقما و جایگاه زمین‌ساختی آنها بسیار اهمیت دارد. بر این اساس، چند نمودار تعیین سری ماقمایی بر پایه ترکیب شیمیایی پیروکسن طراحی شده است. در نمودارهای SiO_2 نسبت به Al_2O_3 [۲۰] و $Ca+Na$ نسبت به SiO_2/Al_2O_3 [۲۰] و Ti [۵]، نمونه‌های مورد بررسی در گستره‌ی قلیایی تا نیمه قلیایی قرار می‌گیرند (شکل‌های ۶ الف و ب). در نمودار $Ca+Na$ نسبت به Ti ، بیشتر نمونه‌ها در گستره‌ی قلیایی قرار می‌گیرند که نشان دهنده‌ی غنی شدگی عنصر Ca در آنهاست. برای شناسایی سری ماقمایی لامپروفیرها بر اساس شیمی کانی پیروکسن از نمودار SiO_2/Al_2O_3 نسبت به $Mg/\#$ استفاده شد. نمونه‌های مورد بررسی در بخش مشترک لامپروفیرهای قلیایی-آهکی‌قلیایی و فرامافیکها جای دارند [۲۳-۲۱] که این همپوشانی‌ها بر پایه مرزهای شناخته شده توسط نیزبت [۲۴] بدیهی است (شکل ۶ پ).

زمین- دما فشار سنجی

محاسبات متعددی برای برآورد فشار در کانی کلینوپیروکسن



شکل ۶ تعیین سری ماقمایی و جایگاه زمین‌ساختی نمونه‌ها با استفاده از ترکیب شیمیابی پیروکسن در (الف) نمودار SiO_2 نسبت به Al_2O_3 [۲۰]، (ب) نمودار $\text{Ca}+\text{Na}$ در مقابل Ti [۵] و (پ) نمودار شناسایی سری ماقمایی لامپروفیرها [۲۴].

ادامه برای تأیید نتایج یاد شده از روش ترسیمی سوسو [۳۳] استفاده شد. او با بهره‌گیری از مقادیر XPT و YPT (روابط (۹) و (۱۰)) در ترکیب کلینوپیروکسن، یک نمودار برای برآورد دما و فشار ارائه نموده است. با توجه به این نمودار، کلینوپیروکسن‌های دایک‌های دیابازی مورد بررسی در گستره دمایی ۱۱۵۰ تا ۱۲۰۰ درجه سانتیگراد و لامپروفیرها در ۱۲۰۰ - ۱۳۰۰ درجه سانتیگراد تشکیل شده‌اند (شکل ۷ الف).

$$\begin{aligned} \text{X}_{\text{PT}} = & 0.446\text{SiO}_2 + 0.187\text{TiO}_2 - 0.404\text{Al}_2\text{O}_3 + \\ & 0.346\text{FeO}^{(\text{tot})} - 0.052\text{MnO} + 0.309\text{MgO} + \\ & 0.431\text{CaO} - 0.446\text{Na}_2\text{O} \end{aligned} \quad (9)$$

$$\begin{aligned} \text{YpT} = & -0.369\text{SiO}_2 + 0.535\text{TiO}_2 - 0.317\text{Al}_2\text{O}_3 + \\ & 0.323\text{FeO(t)} + 0.235\text{MnO} - 0.516\text{MgO} - \\ & 0.167\text{CaO} - 0.153\text{Na}_2\text{O} \end{aligned} \quad (10)$$

لیندلی [۳۴] نمودار سه تایی Wo-En-Fs را برای ارزیابی دمای پیدایش پیروکسن‌ها پیشنهاد کرده است. در این نمودار، کلینوپیروکسن‌های درون لامپروفیرهای مورد بررسی در گستره دمایی ۱۱۰۰ تا ۱۳۰۰ درجه سانتیگراد شکل گرفته‌اند (شکل ۷ ب).

روش دیگر برای دماسنجی کلینوپیروکسن‌ها روش پیشنهادی کرتز [۳۱] است که بر پایه فراوانی کاتیون‌های دو طرفیتی Mg^{+2} و Ca^{+2} رابطه زیر را ارائه نمود.

$$\text{T}^{\circ}\text{C} = \{1000/(0.054 + 0.608\text{X}^{\text{Cpx}} - 0.304\ln(1 - 2[\text{Ca}]^{\text{Cpx}}))\} - 273 \quad (7)$$

که این در رابطه X^{Cpx} برابر است با

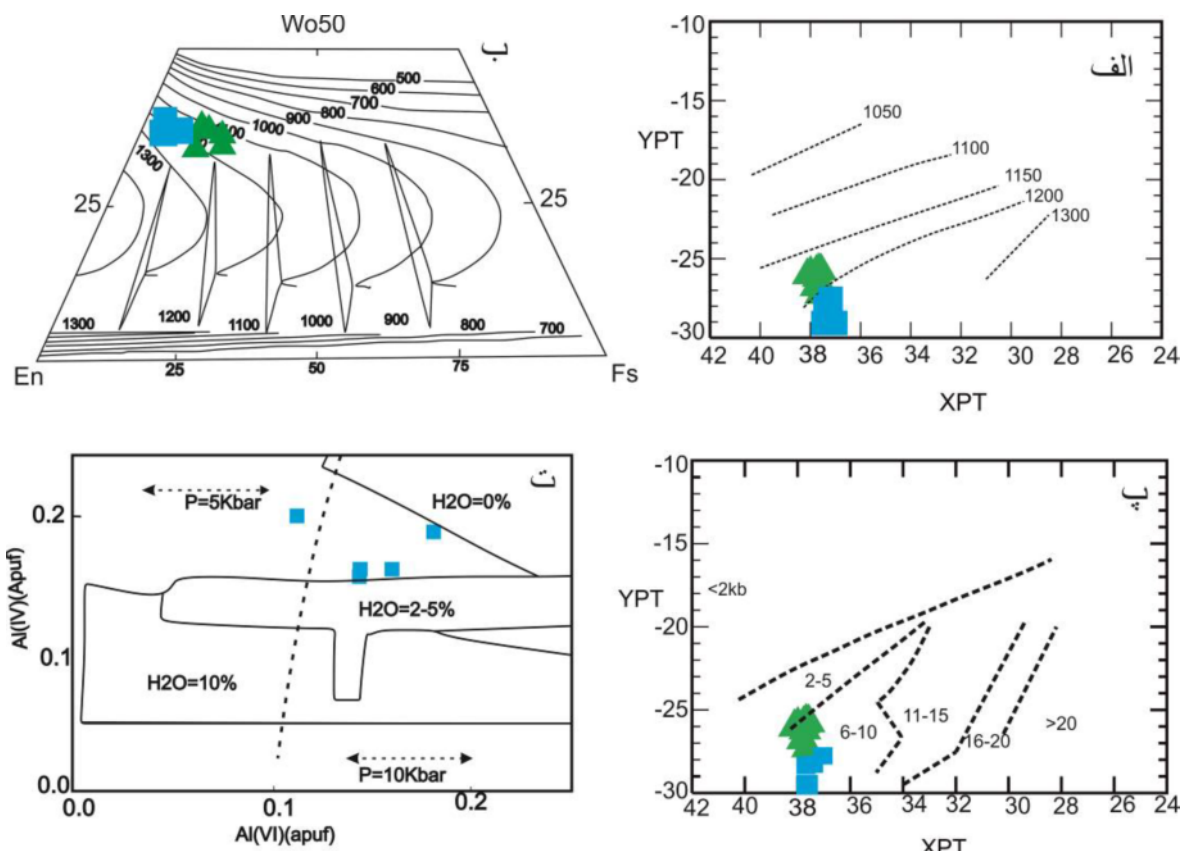
$$\text{X}^{\text{Cpx}} = [\text{Fe}^{2+} / (\text{Fe}^{2+} + \text{Mg})]^{\text{Cpx}}$$

با استفاده از این روش، دمای تشکیل کلینوپیروکسن‌ها حدود ۱۱۵۳ درجه سانتیگراد به دست آمد.

روش به کار رفته دیگر رابطه ارائه شده در مراجع [۳۲-۳۶] است:

$$\begin{aligned} 10^4/\text{T(K)} = & 6.39 + 0.076(\text{H}_2\text{O}^{\text{Liq}}) - 5.55(X_{\text{CaO}}^{\text{Liq}} \\ & X_{\text{SiO}_2}^{\text{Liq}}) - 0.386\ln(X_{\text{MgO}}^{\text{Liq}}) - 0.046P(\text{kbar}) + 2.2 \times \\ & 10^{-4}[P(\text{kbar})]^2 \end{aligned}$$

البته در این رابطه، تغییرات Jd-DiHd موجب افزایش خطای ±۶۰-۵۲ درجه سانتیگراد می‌شود. بر این اساس، میانگین دمای تشکیل کلینوپیروکسن‌ها برای دیابازها ۱۰۹۶ درجه سانتیگراد و برای لامپروفیرها ۱۱۱۵ درجه سانتیگراد است. در



شکل ۷ تعیین دمای پیروکسن‌های منطقه جوپار با استفاده از الف) روش مرجع [۳۳] و ب) نمودار Wo-En-Fs [۳۴]. پ) تعیین فشار تبلور پیروکسن با استفاده از روش مرجع [۳۳] و ت) بررسی فشار و مقدار آب موجود در ماغما بر پایه شیمی کانی پیروکسن [۳۸]. علائم مشابه شکل ۵ است.

ماگمای مادر در فشار ۵ کیلوبار و در محیطی کم آب متبلور شده‌اند (شکل ۷ ت). مقدار پایین Al^{VI} در پیروکسن‌های مورد نظر (جدول ۲) نیز سازگار با فشارهای تبلور اندک است [۳۶].

تعیین محیط زمین ساخت با استفاده از شیمی پیروکسن
یکی دیگر از کاربردهای شیمی پیروکسن‌ها تعیین محیط زمین ساختی سنگ‌های است برپایه نمودار F1-F2 [۲۴]، کلینوپیروکسن‌های بازالتها و لامپروفیرهای مورد بررسی در گستره‌ی ترکیبی بازالت‌های کمان آتش‌شناختی و بازالت‌های کف اقیانوس جای می‌گیرند (شکل ۸ الف). در نمودار دوتایی $\text{TiO}_2\text{-Al}^{\text{IV}}$ [۳۷]، نمونه‌ها روند مشابه با کمان ماگمایی را نشان می‌دهند [۳۸] (شکل ۸ ب).

دماسنجی به روش فلدرسپارها

پلازیوکلارها فراوانترین کانی روش تشکیل دهنده دایک‌های دیابازی مورد بررسی هستند. نتایج تجزیه نقطه‌ای برخی از

فشار سنجی

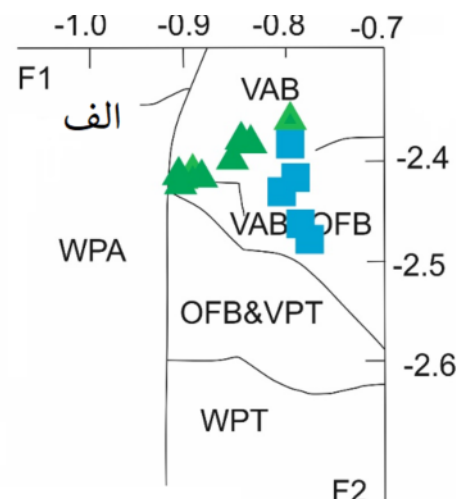
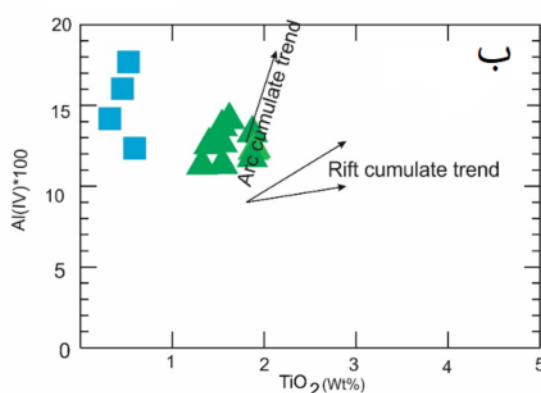
به منظور محاسبه فشار از روش مرجع [۲۵] استفاده شد. در این روش، گستره‌های فشار ۰/۰۰۱ تا ۸۰ کیلوبار بازنگری شده و از رابطه زیر استفاده شده است:

$$\begin{aligned} P(\text{Kbar}) = & 3205 + 0.38T(\text{K}) - 518\ln T(\text{K}) - 5.62 \\ & ((X_{\text{Mg}}^{\text{Cpx}}) + 83.2(X_{\text{Na}}^{\text{Cpx}}) + 68.2(X_{\text{DiHd}}^{\text{Cpx}}) + \\ & 2.52\ln(X_{\text{Al(VI)}}^{\text{Cpx}}) - 51.1(X_{\text{DiHd}}^{\text{Cpx}})^2 + \\ & 34.8(X_{\text{EnFs}}^{\text{Cpx}})^2) \end{aligned} \quad (11)$$

بر اساس این رابطه، فشار تبلور پیروکسن $4/5$ تا $6/4$ کیلوبار برای دیابازها و $3/4$ تا $5/4$ کیلوبار برای لامپروفیرهای دیابازی فشار مرجع [۳۳] (شکل ۷ پ) فشار پیروکسن در دایک‌های دیابازی در گستره $4-8$ کیلوبار به دست آمد. هلتر [۳۵] بیان کرد که توزیع آلومینیوم در جایگاه‌های چاروچهی و هشت‌وجهی می‌تواند معیار مناسبی برای برآورد مقدار آب ماغما و فشار محیط تشکیل سنگ‌های آذرین باشد. بر این اساس، پیروکسن‌های موجود در لامپروفیرهای مورد بررسی از

با دمایی حدود ۶۵۰-۵۰۰ درجه سانتیگراد روبه رو هستیم که با توجه به ترکیب سنتگشناسی منطقه مورد بررسی به نظر می‌رسد که این دما کمتر از دمای واقعی تبلور باشد. احتمالاً پایین بودن دمای محاسبه شده ناشی از دگرگونی‌های زیر نقطه انجماد ترکیب فلدسپارها طی تبلور توده است (شکل ۹ ب).

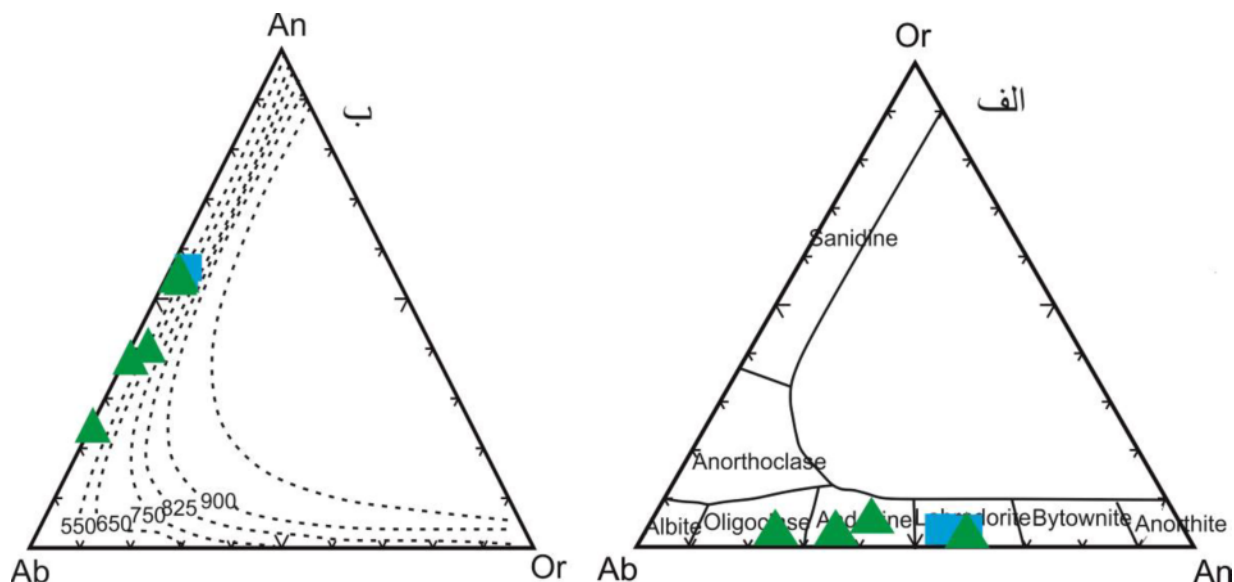
کاتیون‌های درشت بلورهای پلازیوکلاز پس از محاسبه بر اساس فرمول ساختاری ۸ اکسیزن در جدول ۳ آمده است. پلازیوکلازهای تجزیه شده در نمودار مثلثی [۱۹] Ab-An-Or در گستره‌ی الیگوکلاز، آندزین، لاپرادوریت واقع می‌شوند (شکل ۹ الف). چنانکه در شکل ۹ ب دیده می‌شود، با استفاده از نمودار سه تایی Ab-An-Or برای پلازیوکلازهای مورد بررسی



شکل ۸ الف - نمودار F1-F2 برای شناسایی خاستگاه زمین‌ساختی ماغمای سازنده بازالت‌ها بر پایه شیمی کلینوپیروکسن (VAB: بازالت‌های کمان آتششانی؛ OFB: بازالت‌های کف اقیانوس، WPT: بازالت‌های درون صفحه‌ای) [۲۴] و ب) نمونه‌ها در نمودار $TiO_2-AlIV * 100$ که روند مشابه با کمان ماغمایی را نشان می‌دهند [۳۷]

$$F1 = -0.012SiO_2 - 0.0807TiO_2 + 0.0026Al_2O_3 - 0.0012FeO - 0.0026MnO + 0.0087MgO - 0.0128CaO - 0.0419Na_2O$$

$$F2 = -0.0469SiO_2 - 0.0818TiO_2 - 0.0212Al_2O_3 - 0.004FeO - 0.1435MnO - 0.0029MgO + 0.085CaO + 0.0160Na_2O$$

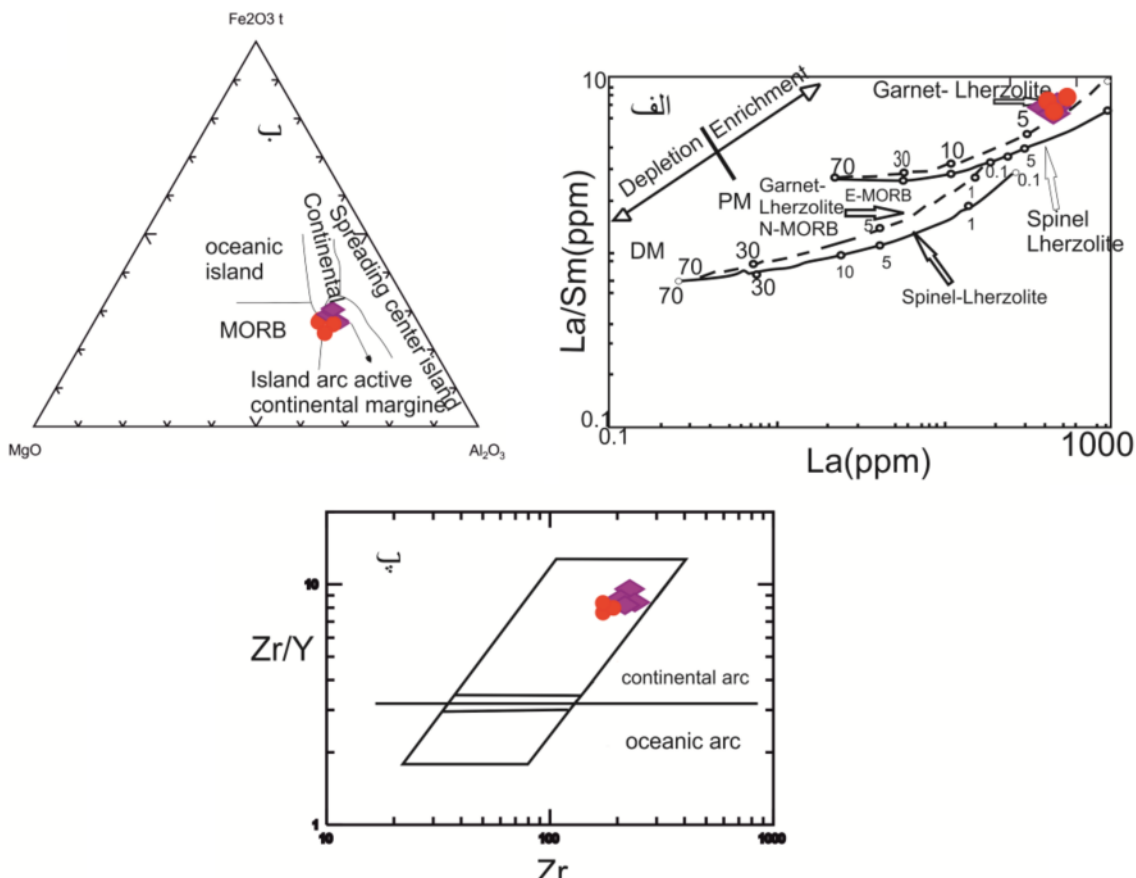


شکل ۹ فلدسپارها در دایک‌های منطقه جوپار در الف) نمودار رده‌بندی فلدسپارها [۱۹] و ب) نمودار سه تایی آلبیت-ارتوكلاز-آلبیت-Or (Ab-Or-An) برای ارزیابی دمای تعادلی فلدسپارها بر پایه درجه سانتیگراد و در گستره فشار یک کیلوبار [۳۹].

فعال قاره‌ای قرار می‌گیرند (شکل ۱۰ ب). برای اینکه مشخص شود کمان ماقمایی از نوع اقیانوسی است یا قاره‌ای از نمودار $Zr/Y-Y$ [۴۴] استفاده شد که براساس آن، سنگ‌های مورد بررسی در گستره‌ی کمان‌های قاره‌ای قرار می‌گیرند (شکل ۱۰ ب). به نظر می‌رسد که کمان ماقمایی سازنده سنگ‌های منطقه ناشی از فروزانش یک پوسته اقیانوسی به زیر پوسته قاره‌ای باشد. افزون بر نمودارهای بالا، از نسبت عناصر کمیاب Zr/Y نیز می‌توان برای تشخیص نظام زمین‌ساختی استفاده کرد [۴۵]، به این صورت که اگر Zr/Y در گدازه‌ها بیش از ۳ باشد، محیط زمین‌ساختی وابسته به کمان‌های آتشفسانی قاره‌ای و اگر کمتر از ۳ باشد به کمان‌های آتشفسانی اقیانوسی وابسته‌اند. سنگ‌های آتشفسانی جوپار از آنجا که دارای نسبت Zr/Y بیش از ۳ هستند در گروه قوس آتشفسانی قرار می‌گیرند، بنابراین محیط زمین‌ساختی ماقمایی منطقه مورد بررسی می‌تواند وابسته به کرانه فعال قاره‌ای باشد.

جایگاه زمین‌ساختی

از مقایسه ترکیب گدازه‌ها با ترکیب ماقمایی شکل گرفته از ذوب لرزولیت‌های اسپینل یا گارنت‌دار می‌توان به درجه ذوب بخشی و ماهیت گوشته خاستگاه منطقه مورد بررسی پی برد. نمونه‌های مورد بررسی از نظر فراوانی La, Sm ترکیبی مشابه با ماقمایی برآمده از گوشته غنی شده دارند که در شکل ۱۰ الف بر روند همخوان با حدود ۱ تا ۵ درصد گارنت لرزولیت قرار می‌گیرند. الام [۴۰] معتقد است که پهنه انتقال بین اسپینل با ماقمایی گوشته بالایی قرار دارد [۴۲، ۴۱]. با توجه به اینکه این نمودار نشان‌دهنده حضور گارنت و عدم حضور اسپینل در خاستگاه سنگ‌های منطقه است، می‌توان کمترین عمق شکل گیری ماقمایی تشکیل‌دهنده این سنگ‌ها را بیش از ۸۰ کیلومتر دانست. نمونه‌های مورد بررسی در نمودار مثلثی $MgO-FeO-Al_2O_3$ [۴۳] در گستره‌ی جزایر قوسی و کرانه



شکل ۱۰ نمودارهای بررسی خاستگاه سنگ‌های قطعه جوپار: (الف) نمودار La/Sm نسبت به La (ppm) به منظور محاسبه میزان ذوب بخشی [۴۶]، (ب) جایگاه زمین‌ساختی سنگ‌های مورد بررسی در نمودار مرجع [۴۳] و (پ) نمودار Zr نسبت به Zr/Y از [۴۴].

مهندس شاکری و دکتر بهرامی به خاطر کمک در تأمین مخارج پژوهه سپاسگذاری می‌کنند.

مراجع

- [1] Salavaty M., Darvishzadeh B., Darvishzadeh A., "Mineral chemistry of mica and clinopyroxen in lamprophyre dykes in the south of Amlash", Ianian Journal of Crystallography and Mineralogy 9 (2001):3-26.
- [2] Ravankhah A., Moayyed M., Hosseinzadeh, M. R., Azimzadeh A. M., Hassanzadeh J., Amel N., "Petrographical, mineral chemical and geochemical studies of the lamprophyric bodies and alkaline gabbro from the Houway area (NE Hourand-NW Iran)", Ianian Journal of Crystallography and Mineralogy, 3(2015) 556-569
- [3] Aghazadeh M., Badrzadeh Z., "Mineralogy and mineral chemistry of lamprophyres in the NW Iran", Ianian Journal of Crystallography and Mineralogy, 4 (2013) 571-584.
- [4] Ghadami Gh., Bahrampour A., Atapour H., Poosti M., Ahmadipour H., "Using whole rock and mineral chemistry for determining the origin of lamprophyres from Deh – Bazargan -Sarasiab6 (north of Kerman city, Kerman Province)" Iranian Journal of Petrology 32 (2018):1-20.
- [5] Leterrier J., Maury R. C., Thonon P., Girard D., Marechal M., "Clinopyroxene composition as a method of identification of the magmatic affinities of paleo volcanic series", Earth and Planetary Science Letters. 59. (1982); 139-54.
- [6] Aghanabati A., "Geology of Iran. Geological Survey of Iran", (2006) Tehran (in Persian).
- [7] Dimitrijevic M. N., Djockovic I., Cvetic S., Halaviatiz J., "Geological map of Rayen 1:1000000 seris, sheet 7449", Geological Survey of Iran (1979) Iran.
- [8] Kuo L.C., Kirkpatrick R.J., "Pre-eruptive history of phryic basalts from DSDP Legs45 and46: Evidence from Morphology and zoning patterns in plagioclase", Contributions to Mineralogy and Petrology, 79(1982) 13-27.
- [9] Rock N.M.S., "Lamprophyres, Thomson Lithos Ltd", East Kilbride, p: 285
- [10] Gill R., "igneous rocks and processes: A practical guide", 1st edition, Wiley-Blackwell, (2010) London.
- [11] Rollinson H. R., "Using geochemical data: evaluation, presentation, interpretation", 1st edition, Longman Scientific and Technical, (1993) London.

برداشت

مجموعه آذرین سنگ‌های جوبار طیف گسترده‌ای از سنگ‌های آذرین اسیدی تا بازی را در بر می‌گیرد که میزان دایک‌های بازی و لامپروفیری است. به نظر می‌رسد که این دایک‌ها جوانترین فعالیت ماقمایی در منطقه هستند که در راستای شکستگی‌ها نفوذ کرده‌اند پیروکسن‌ها در دایک‌های مورد بررسی با ترکیب دیوپسید حضور دارند. نمودارهای تفکیک محیط زمین‌ساختی تشکیل پیروکسن‌ها گویای ارتباط نمونه‌ها با فرآیند فورانش و شکل گیری مجموعه مورد بررسی در کرانه فعال قاره‌ای است. دماهای محاسبه شده با استفاده از روش‌های متعدد، نشان می‌دهد که پیروکسن‌ها در لامپروفیرها در دمای حدود ۱۱۰۰ تا ۱۳۰۰ درجه سانتیگراد متبلور شده‌اند. تغییرات دما در دایک‌های بازی محدودتر و در گستره ۱۱۵۰ تا ۱۲۰۰ درجه سانتیگراد متغیر بوده است. با توجه به نمودار فشارسنجی مرجع [۳۳]، فشار برای دیابازها و لامپروفیرها ۸-۴ کیلوبار برآورد شد. مقدار آب ماقمایا تبلور متغیر و کمتر از ۲ درصد بوده و فشار محیط تبلور لامپروفیرها کمتر از ۵ کیلوبار است. دایک‌های دیابازی از میزان گریزندگی اکسیژن تقریباً متوسط تا بالا برخوردار هستند. بر پایه نتایج شیمیایی پلازیوکلازها به روش ریزکاوالکترونی، ترکیب آنها الیکوکلاز-آندرین-لابرادوریت و دمای تبلور آنها ۶۵۰-۵۰۰ درجه سانتیگراد است. برپایه شیمی سنگ کل، نمونه‌های مورد بررسی دارای سری ماقمایی قلیایی هستند و در گستره کرانه فعال قاره‌ای قرار می‌گیرند که بررسی‌های ساختاری نیز این امر را تایید می‌کند. الگوهای بهنجار شده به ترکیب گوشه اولیه نشان می‌دهند که دایک‌های بازی جوبار دارای ناهنجاری مثبت دیدگاه سنگ‌زایی، این سنگ‌ها از ذوب‌بخشی خاستگاه گوشه-ای گارنتدار پدید آمده‌اند. از آنجا که ماقمای سازنده این دایک‌ها که سرشت قلیایی دارد در ژرفای نسبتاً زیاد و از ذوب بخشی گوشه گارنتدار به وجود آمده و در شکاف‌های عمیق پوسته‌ی قاره‌ای نفوذ کرده و دایک‌های لامپروفیری و سپس دیابازی را پدید آورده است.

قدرتانی

نویسنده‌گان از همه عوامل اجرایی مجله بلورشناسی و کانی-شناسی ایران قدردانی می‌کنند. آنها همچنین از جناب آقای

- settings", Contributions to Mineralogy and Petrology, 63 (1977): 161-173.*
- [25] Nimis P., "A clinopyroxene geobarometer for basaltic systems based on crystal-structure modeling", Contributions to Mineralogy and Petrology, 121(1995): 44–125.
- [26] Nimis P., "Clinopyroxene geobarometry of magmatic rocks. Part 2. Structural geobarometers for basic to acid, tholeiitic and mildly alkaline magmatic systems", Contributions to Mineralogy and Petrology, 135(1999): 62–74.
- [27] Nimis P., Taylor W. R., "Single clinopyroxene thermobarometry for garnet peridotites. Part I. Calibration and testing of a Cr-in-Cpx barometer and an enstatite-in-Cpx thermometer", Contributions to Mineralogy and Petrology, 139, (2000):541–554.
- [28] Putirka K. D., "Thermometers and Barometers for Volcanic Systems", Reviews in Mineralogy & Geochemistry, Vol. 69, (2008): 61-120.
- [29] Putirka K., Johnson M., Kinzler R., Longhi J., Walker D., "Thermobarometry of mafic igneous rocks based on clinopyroxene-liquid equilibria, 0-30 kbar", Contributions to Mineralogy and Petrology, 123(1996), 92–108.
- [30] Yavuz F., "WinPyrox: A Windows program for pyroxene calculation classification and thermo barometry", American Mineralogist 98.7(2013): 1338-1359.
- [31] Kretz R., "Metamorphic Crystallization. John Wiley and Sons", (1994) Chichester and New York.
- [32] Putirka K. D., Mikaelian H., Ryerson F., Shaw H., "New clinopyroxene- liquid thermobarometers for mafic, evolved, and volatile bearing lava compositions, with applications to lavas from Tibet and Snake River Plain", Idaho. American Mineralogist, 88(2003);1542–1554.
- [33] Soesoo A., "A multivariate statistical analysis of clinopyroxene composition: empirical coordinates for the crystallization PT-estimations", Geological Society of Sweden (Geological Föreningen) 119 (1997); 55-60.
- [34] Lindsley D. H., "Pyroxene thermometry", American Mineralogist 68(1983); 477-493.
- [35] Helz R., "Phase reactions of basalts in their melting range at $P\text{H}_2\text{O} = 5\text{kb}$, Part II, Melt composition", Journal of Petrology 17(1993) 139-193.
- [36] Mahood G. A., Baker D. R., "Experimental constraints on depths of fractionation of mildly alkalic basalts and associated felsic rocks:
- [12] Thompson R. N., "Magmatism of British Tertiary volcanic province", Scottish Journal of Geology 18 (1982) 49-107.
- [13] Kurt H., Asan K., Ruffet G., "The relationship between collision-related calc-alkaline, and withinplate alkaline volcanism in the Karacadag Area (Konya/Turkiye, Central Anatolia)", Chemie der Erde, Geochemistry, 68(2008) 155–1766.
- [14] Le Bas M.J., Maitre R.W., Streckeisen A., "Zanettin B-Achemical classification of volcanic rocks based on the total alkali silica diagram", Journal of Petrology 27. (1986) 745–750.
- [15] Gill R., "Igneous rocks and processes: A practical guide", 1st edition, Wiley-Blackwell, (2010) London.
- [16] Irvine T. N., Baragar W. R. A., "A guide to chemical classification of the common volcanic rocks", Canadian Journal of Earth Sciences 8(1971) 523–548.
- [17] Sun S. S., McDonough W. F., "Chemical and isotopic systematics of oceanic basalts: implications for mantle composition and processes. Geological Society, London", Special Publications 42(1989); 313-345.
- [18] Morimoto N., Fabrise j., Ferguson A., Ginzburg I. V., Ross M., Seifert F.A., Zussman J., Akoi K., Gottardi G., "nomenclature of pyroxenes", American Mineralogist 173(1988); 1123-1133.
- [19] Deer W.A., Howie R.A., Zussman J., "An introduction to the rock forming minerals", Longmans 696 p, 2th editions, (1992) London.
- [20] Le Bas., "The role of aluminum in igneous clinopyroxenes with relation to their parentage", American Journal of Science. 260(1962); 267-288
- [21] Rock N. M. S., "Nature and origin of calc-alkaline Lamprophyres: minettes, vosesites, kersantites and spessartites", Transactions of the Royal Society of Edinburgh. Earth science 74(1984); 193-227.
- [22] Rock N. M. S., "The nature and origin of ultramafic lamprophyres: alnoites and allied rocks", Journal of Petrology 27(1986); 155-196.
- [23] Rock N. M.S., "The nature and origin of lamprophyres: an overview. In: Fitton, J.G., Upton, B.G.J. (Eds.), A lkaline Igneous Rocks", Geological Society Special publications, 30(1987); 191–226.
- [24] Nisbet E.G., Pearce J.A., "Clinopyroxene composition of mafic lavas from different tectonic

- [42] McKenzie D. P., O'Nions R. K., "Partial melt distribution from inversions of rare earth element concentration", *Journal of Petrology*. 32(1991), 1021-1091.
- [43] Pearce T. H., Gorman B.E., Birkett T. C., "the relationship between major element chemistry and tectonic environment of basic and intermediate volcanic rocks", *Earth and Planetary Science Letters*. 36(1977):121-132.
- [44] Pearce J. A., "The role of sub-continental lithosphere in magma genesis at destructive plate margins. In: *Continental basalts and mantle xenoliths* (Eds. Hawkesworth", C. J. and Norry, M.J.) Nantwich, Cheshire: Shiva Publications, (1983); 230-249.
- [45] Pearce J. A., Norry M. J., "Petrogenetic implications of Ti, Zr, Y and Nb variation in volcanic rocks", *Contributions to Mineralogy and Petrology* 69(1979): 33-47.
- [46] Aldanmaz E., Pearce J. A., Thirlwall M. F., Mitchell J. G., "Petrogenetic evolution of late Cenozoic, post-collision volcanism in western Anatolia, Turkey", *Journal of Volcanology and Geothermal Research* 102(2000): 67–95.
- [47] Pantelleria, strait of Sicily", Contribution to Mineralogy and Petrology 93(1986) 251-264.
- [37] Ao S. J., Xiao W. J., Han C. M., Mao Q. G., Zhang J. E., "Geochronology and geochemistry of early Permian mafic-ultramafic complexes in the Beishan area, Xinjiang, NW China: implications for late Paleozoic tectonic evolution of the southern Altaids", *Gondwana Research* 18(2010) 466-478.
- [38] Coltorti M., Bonadiman C., Faccini B., Grégoire M. O., Reilly S. Y., Powell W., "Amphiboles from suprasubduction and intraplate lithospheric mantle", *Lithos* 99 (2007) 68-84.
- [39] Anderson J. L., "Status of thermo-barometry in granitic batholiths", *Earth Science Review* 87(1996) 125-138.
- [40] Ellam E. M., "Lithospheric thickness as a control on basalt geochemistry", *Geology* 20 (1992) 153-156.
- [41] Frey F.A., Garcia M.O., Wise W.S., Kennedy A., Gurriet P., Albareda F., "The evolution of Mauna Kea volcano, Hawaii: Petrogenesis of tholeiitic and alkali basalts", *Journal of Geophysical Research* 96(1991); 29-40.